

# Гиперболические экситоны в полупроводниках

© В.И. Белявский, Р.А. Кончаков

Государственный педагогический университет,  
394043 Воронеж, Россия

E-mail: vib@vspu.ac.ru

(Поступила в Редакцию 6 декабря 2000 г.)

Энергия и затухание квазистационарного состояния, соответствующего гиперболическому экситону в полупроводниковом кристалле, рассчитаны в предположении, что взаимодействие между электроном и дыркой описывается экранированным кулоновским потенциалом. Определены условия возникновения резонанса, обусловленного гиперболическим экситоном.

Работа поддержана МНТП России "Физика твердотельных наноструктур".

**1. Особенности оптических спектров полупроводниковых кристаллов в области собственного поглощения связаны с сингулярностями Ван Хова комбинированной плотности состояний электронов и дырок. Экситонные эффекты, обусловленные кулоновским взаимодействием, приводят к системе уровней в области энергий, меньших энергии минимума плотности состояний. Седловые точки закона дисперсии располагаются в глубине разрешенной зоны энергий, так что в этом случае связанные состояния электрона и дырки определенно попадают в область сплошного спектра и, таким образом, являются квазистационарными состояниями (КСС).**

Концепция гиперболического экситона (экситона седловой точки), выдвинутая Дж. Филлипсом [1–4], предполагает наличие в оптических спектрах резонанса (или нескольких резонансов) вблизи энергии седловой точки. Экспериментальные исследования гиперболических экситонов в полупроводниковых кристаллах [5–12] показывают, что соответствующие экситонные резонансы проявляются в виде четко выраженных полос в спектрах поглощения и отражения. В окрестности седловой точки главные значения тензора обратных эффективных масс имеют неодинаковые знаки, так что изоэнергетические поверхности (в первом приближении) являются гиперболами. Гиперболическая метрика  $k$ -пространства не позволяет получить точное решение для волновых функций и энергетического спектра экситона седловой точки, подобно тому, которое имеет место в случае экситона, связанного с минимумом плотности состояний [13]. В случае предельно сильной анизотропии эффективных масс можно воспользоваться адиабатическим приближением, разделив "быстрое" движение с малой массой и "медленное" движение с большой массой [14]. Таким образом можно найти приближенное решение, соответствующее экситонному резонансу и существующее на протяжении времени жизни экситонов. Вопрос о времени жизни экситона седловой точки при этом остается открытым.

**2. Корреляционное взаимодействие электрона и дырки в непроводящем кристалле обычно экранируется свобод-**

ными носителями

$$U(r) = -\frac{e^2}{\epsilon_0 r} \exp(-k_0 r), \quad (1)$$

где  $k_0^{-1} \equiv r_0$  — радиус экранирования,  $\epsilon_0$  — статическая диэлектрическая проницаемость кристалла. Поэтому определяющий вклад в линейную комбинацию произведений электронных и дырочных блоховских функций, образующую волновую функцию экситона, вносит ограниченная область  $k$ -пространства  $k \leq k_0$ , существенно меньшая зоны Бриллюэна. В этом случае для качественного исследования КСС, возникающих в результате взаимодействия электрона и дырки, можно воспользоваться методом [15,16], примененным при рассмотрении электрон-электронных корреляций в сверхпроводниках.

Ограничимся рассмотрением простейшей двухзонной модели полупроводника. Если  $\epsilon_c(k_e)$  и  $\epsilon_v(k_h)$  — закон дисперсии электронов в зоне проводимости и валентной зоне, то энергия возбуждения свободной электронно-дырочной пары (ЭДП) с квазиимпульсом  $K = k_e + k_h$ , где  $k_e$  и  $k_h$  — квазиимпульсы электрона и дырки, может быть записана в виде

$$E_{\text{ЭДП}}(K, k) = E_g + \epsilon_c\left(\frac{K}{2} + k\right) - \epsilon_v\left(\frac{K}{2} - k\right). \quad (2)$$

Здесь  $E_g$  — ширина (прямой) запрещенной зоны,  $k = (k_e - k_h)/2$  — квазиимпульс относительного движения ЭДП. Поскольку взаимодействие между электроном и дыркой имеет характерный радиус действия  $r_0 \gg a$ , где  $a$  — межатомное расстояние, то в (2) оказываются существенными значения  $k$ , удовлетворяющие условию  $k < k_0$ , и (2) можно приближенно представить как

$$E_{\text{ЭДП}}(K, k) = E_g + \epsilon^{(-)}(K) + \hbar v_\alpha(K) k_\alpha + \frac{\hbar}{2m} \nu_{\alpha\beta}(K) k_\alpha k_\beta, \quad (3)$$

где  $\epsilon^\pm(K) = \epsilon_c(K/2) \pm \epsilon_v(K/2)$ ,  $m$  — параметр размерности массы,

$$v_\alpha(K) = \frac{1}{\hbar} \frac{\partial \epsilon^{(+)}(K)}{\partial k_\alpha}, \quad \nu_{\alpha\beta}(K) = \frac{2m}{\hbar^2} \frac{\partial^2 \epsilon^{(-)}(K)}{\partial k_\alpha \partial k_\beta}; \quad (4)$$

по повторяющимся тензорным индексам подразумевается суммирование.

3. Эквивалентный гамильтониан ЭДП в экситонном представлении Ванье принимает вид

$$\hat{H}_K = -\frac{\hbar^2}{2m} \nu_{\alpha\beta}(K) \frac{\partial^2}{\partial x_\alpha \partial x_\beta} - i\hbar v_\alpha(K) \frac{\partial}{\partial x_\alpha} + U(r), \quad (5)$$

при этом энергия относительного движения ЭДП отсчитывается от значения  $E_g + \varepsilon^{(-)}(K)$ . Огибающая функция ЭДП с квазиимпульсом  $K$  представляется в факторизованном виде

$$\psi_K(R, r) = \varphi_K(r) \exp(iKR), \quad (6)$$

где  $R$  — радиус-вектор ЭДП как целого,  $r$  — радиус-вектор относительного движения,  $\varphi_K(r)$  — собственная функция гамильтониана (5), которую, чтобы устранить линейный по квазиимпульсу член в эквивалентном гамильтониане, представим в виде

$$\varphi_K(r) = \chi_K(r) \exp(i\lambda_\alpha x_\alpha),$$

$$\lambda_\alpha \equiv \lambda_\alpha(K) = -\frac{m}{\hbar} \nu_{\alpha\beta}^{-1}(K) v_\beta(K). \quad (7)$$

Уравнение для огибающей функции  $\chi_K(r)$  принимает вид

$$-\frac{\hbar^2}{2m} \nu_{\alpha\beta}(K) \frac{\partial^2 \chi_K(K)}{\partial x_\alpha \partial x_\beta} + U(r) \chi_K(K) = \varepsilon_K \chi_K(K), \quad (8)$$

здесь

$$\varepsilon_K = E + \frac{m}{2} v_\alpha(K) \nu_{\alpha\beta}^{-1}(K) v_\beta(K). \quad (9)$$

Для каждого  $K$  матрица тензора  $\nu_{\alpha\beta}(K)$  может быть приведена к главным осям, тогда она принимает вид  $\nu_{\alpha\beta}(K) = \nu^{(\alpha)}(K) \delta_{\alpha\beta}$ , а уравнение (8) переписывается как

$$-\frac{\hbar^2}{2m} \sum_\alpha \nu^{(\alpha)}(K) \frac{\partial^2 \chi_K(r)}{\partial^2 x_\alpha^2} + U(r) \chi_K(r) = \varepsilon_K \chi_K(r). \quad (10)$$

4. Относительное движение ЭДП, описываемое уравнением (10) инфинитно, как и должно быть в случае непрерывного спектра. Это не исключает возможности возникновения относительно долгоживущего КСС, характеризующегося комплексной энергией  $\tilde{E}_K^0 = E_K^{(0)} - i\Gamma_K$  и проявляющегося как полюс амплитуды рассеяния при энергии  $E = \tilde{E}_0$ . Фурье-образ рассеянной волны,  $\tilde{\chi}_K(k)$ , удовлетворяет интегральному уравнению [16]

$$\frac{\hbar^2}{2m} (q^2 - k^2) \tilde{\chi}_K(k) = \tilde{U}(k-q) + \int \tilde{U}(k-k') \tilde{\chi}_K(k') \frac{d^3 k'}{(2\pi)^3},$$

$$k^2 \equiv \sum_\alpha \nu^{(\alpha)}(K) k_\alpha^2, \quad \varepsilon_K = (\hbar^2/2m) \sum_\alpha \nu^{(\alpha)}(K) q_\alpha^2 \equiv q^2. \quad (11)$$

Для качественного исследования характера решения уравнения (11) можно воспользоваться оценкой интеграла по теореме о среднем. Заменим истинный потенциал (1) сингулярным потенциалом  $U(r) \Rightarrow U_0 r_0^3 \delta(r)$ , где

множитель  $r_0^3$  обеспечивает необходимую размерность параметра  $U_0$ , который естественно определить как

$$U_0 = -\frac{4\pi e^2}{\varepsilon_0 r_0}. \quad (12)$$

Область обрезания Фурье-образа потенциала (1) определим условием  $|k| \leq k_0$  и обозначим  $\{Q\}$ . Уравнение (11) легко решается и приводит к

$$\tilde{\chi}_{Kq}(K) = -\frac{w}{1 + wB_K(q^2)} \frac{1}{k^2 - q^2 - i0 \cdot \operatorname{sgn} q^2}. \quad (13)$$

Здесь  $w = 2mU_0 r_0^3 / \hbar$ , знаковая функция  $\operatorname{sgn} q^2$  обеспечивает необходимое асимптотическое поведение расходящейся волны,

$$B_K(q^2) = \int_{\{Q\}} \frac{1}{k^2 - q^2 - i0 \cdot \operatorname{sgn} q^2} \frac{d^3 k}{(2\pi)^3} \\ \equiv B_{K1}(q^2) + iB_{K2}(q^2). \quad (14)$$

Вещественная и мнимая части (при вещественном аргументе  $q^2$ ) функции (14) записываются в виде

$$B_{K1}(q^2) = \int_{\{Q\}} \frac{1}{k^2 - q^2} \frac{d^3 k}{(2\pi)^3}, \\ B_{K2}(q^2) = \pi \int_{\{Q\}} \delta(k^2 - q^2) \frac{d^3 k}{(2\pi)^3} \operatorname{sgn} q^2, \quad (15)$$

где интеграл, определяющий  $B_{K1}(q^2)$ , понимается в смысле главного значения.

5. Знаменатель амплитуды рассеяния,  $1 + wB_K(q^2)$ , не обращается в нуль ни при каких вещественных  $q^2$ . Исключением является случай, когда  $B_{K2}(q^2)$  обращается в нуль тождественно. Тогда полюсы амплитуды рассеяния, определяемые из уравнения

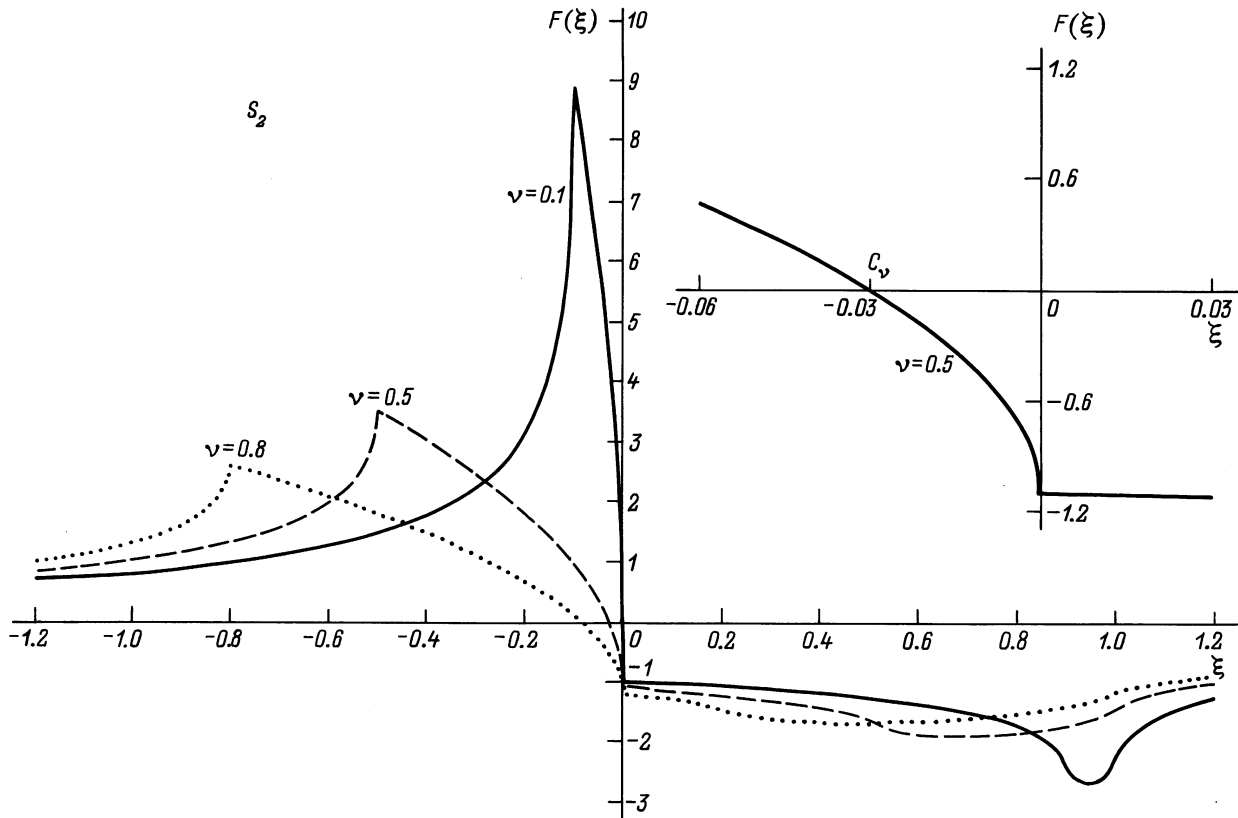
$$1 + wB_{k1}(q^2) = 0, \quad (16)$$

соответствуют связанным состояниям. Для ЭДП такая ситуация возникает в области энергий, расположенной ниже минимума закона дисперсии  $\varepsilon^{(-1)}(k)$ . Если уравнение (16) имеет решение при некотором значении аргумента  $q^2 = q_0^2$  и при этом  $B_{K2}(q_0^2) \neq 0$ , то в окрестности точки  $q_0^2$  функцию  $B_{K1}(q_0^2)$  можно представить как (штрихом обозначено дифференцирование по  $q^2$ )

$$B_{k1}(q^2) \approx B_{K1}(q_0^2) + B'_{K1}(q_0^2) (q^2 - q_0^2), \quad (17)$$

после чего амплитуда рассеяния записывается в виде

$$f_K(q^2) = -\frac{w_K}{1 + w_K B_K(q^2)} \\ \approx -\frac{\hbar^2}{2m} \frac{1}{B'_{K1}(q_0^2)} \frac{1}{E - E_K^{(0)} + \frac{i\Gamma_K}{2}}. \quad (18)$$



**Рис. 1.** График безразмерной функции  $F(\xi)$  ( $B_{K1}(q^2) = k_0 F(\xi)$ ), где безразмерный аргумент  $\xi = q^2/k_0^2$  для случая седловой точки  $S_2$  при  $\nu = 0.1, 0.5, 0.8$ . Слева сверху показан характер особенности  $F(\xi)$  в окрестности точки  $\xi = 0$ .

Здесь  $E_K^{(0)} = \hbar^2 q_0^2/2m$  — энергия КСС,  $E = \hbar^2 q^2/2m$ , а затухание КСС имеет вид

$$\Gamma_K = \frac{\hbar^2 B_{K2}(q_0^2)}{m B'_{K1}(q_0^2)}. \quad (19)$$

6. Далее, рассматривая закон дисперсии в окрестности седловой точки, будем предполагать его цилиндрически симметричным. Именно в окрестности точки  $S_1$  положим  $q^2 = \nu q_1^2 - q_3^2$ , а в окрестности точки  $S_2$  пусть  $q^2 = -\nu q_1^2 + q_3^2$ ; здесь  $q_i^2 = q_1^2 + q_2^2$ ,  $\nu$  — безразмерный параметр, характеризующий степень анизотропии закона дисперсии. Для простоты в качестве области интегрирования  $\{Q\}$  выберем цилиндр  $k_i \leq k_0$ ,  $|k_3| \leq k_0$ . Эта область, как и шар  $k^2 \leq k_0^2$ , имеет единственный характерный масштаб  $k_0$  в импульсном пространстве, при этом интегралы (15) слабо зависят от формы области  $\{Q\}$ . Наличие цилиндрической симметрии позволяет выразить  $B_{K1}(q^2)$  в виде комбинации элементарных функций. Не выписывая в явном виде это достаточно громоздкое выражение, приведем графики функции  $B_{K1}(q^2)$  при некоторых значениях параметра  $\nu$  в случае седловой точки  $S_2$  (рис. 1).

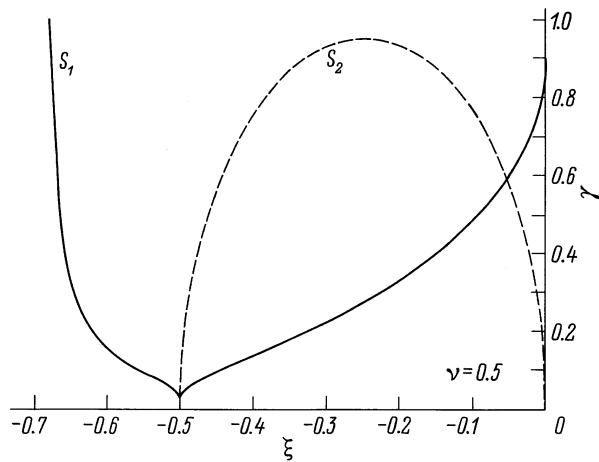
Асимптотическое при  $|q^2| \rightarrow \infty$  поведение функции (15) имеет вид  $B_{K1}(q^2) \sim -Q^3/(2\pi)^3 q^2$ , где  $Q^3$  — объем области  $\{Q\}$ . Как видно из рис. 1, функция  $B_{K1}(q^2)$

ограничена как сверху, так и снизу. Кроме того, при сделанном выше определении закона дисперсии она обладает своеобразной симметрией:  $B_{K1}^{(S_2)}(q^2) = -B_{K1}^{(S_1)}(-q^2)$ ; здесь индекс сверху указывает, к какой именно седловой точке относится функция  $B_{K1}(q^2)$ . С учетом этого обстоятельства рис. 1 позволяет проанализировать условия возникновения КСС в окрестностях седловых точек обоих типов.

Притяжению между электроном и дыркой соответствует  $w < 0$ , поэтому, как видно из рис. 1, решение уравнения (16) может иметь место не при любых  $|w|$ , а лишь начиная с некоторого минимального значения  $|w_m|$ . В случае точки  $S_2$ , рассмотрением которой сначала мы и ограничимся, имеем

$$\begin{aligned} \frac{1}{(w_m)} &= B_{K1}(-\nu k_0^2) \\ &= \frac{k_0}{4\pi^2 \nu} \left\{ 2\sqrt{\nu} \arctg \frac{1}{\nu} + \ln(1+\nu) \right\}. \end{aligned} \quad (20)$$

Так, при  $\nu \ll 1$ , когда состояния ЭДП можно рассматривать как квазиодномерные (1D), ограничение на величину  $|w_m|$  фактически снимается:  $|w_m| \sim \sqrt{\nu}$ . Квазидвумерный (2D) случай, соответствующий, например, кристаллу со слоистой структурой, можно рассмотреть аналогично, положив  $\nu \gg 1$  при условии, что  $\nu/m = \text{const}$ .



**Рис. 2.** График безразмерной функции  $\gamma = \Gamma_K/\Gamma_K^{(0)}$  в зависимости от безразмерного аргумента  $\xi = q^2/k_0^2$  для случаев седловых точек  $S_1$  и  $S_2$ .

И в этом случае ограничение на  $|w_m|$  оказывается существенно более слабым по сравнению с трехмерным (3D) случаем:  $|w_m| \sim 1/\ln \nu$ .

Из определения (15), следует, что  $B_{K2}(q^2) > 0$  при  $q^2 > 0$  и  $B_{K2}(q^2) < 0$  при  $q^2 < 0$ . Поэтому решение уравнения (16), соответствующее КСС, в случае седловой точки  $S_2$  имеет место при  $-\nu < q^2 < C_\nu$ , где  $C_\nu$  — корень уравнения  $B_{K1}(q^2) = 0$ . Именно в интервале  $-\nu < q^2 < C_\nu$  затухание КСС (19) положительно, поскольку  $B'_{K1}(q^2) < 0$ . Кроме того, в широком диапазоне изменения параметра  $\nu$  оно также и мало:  $\Gamma_K/E_K(0) = 2B_{K2}(q_0^2)/q_0^2 B'_{K1}(q_0^2) \ll 1$ . График функции  $\gamma = \Gamma_K/E_K^{(0)}$  в зависимости от  $\xi = q^2/k_0^2$  представлен на рис. 2.

Экситонные состояния, связанные с особенностью электронно-дырочного спектра вблизи седловой точки  $S_1$ , могут быть рассмотрены аналогичным образом. Решения в виде КСС имеют место в интервале  $C'_\nu < q^2 < 0$ , где  $C'_\nu$  — корень уравнения  $B'_{K1}(q^2) = 0$ . При этом, как видно из рис. 1, величина  $|w|$ , при которой возможно возникновение КСС, ограничена в отличие от  $S_2$ -экситона как снизу, так и сверху. Поведение затухания  $S_1$ -экситона в зависимости от  $\xi = q^2/k_0^2$  существенно отличаются от случая  $S_2$ -экситона (рис. 2).

7. Условие возникновения КСС в зависимости от величины параметра  $k_0$  непосредственно вытекает из (20). Действительно, функция  $B_{K1}(q^2)$  может быть представлена в виде  $B_{K1}(q^2) = k_0 F(\xi)$ , где  $F(\xi)$  — безразмерная функция безразмерного аргумента  $\xi = q^2/k_0^2$ . Параметр  $w$  можно записать как  $w = -8\pi/k_0^2 a^*$ , где  $a^* = \varepsilon_0 \hbar^2 / me^2$  — эффективный боровский радиус. Для возникновения КСС необходимо, чтобы в соответствии с (20) было выполнено условие  $F(-\nu) \geq k_0 a^* / 8\pi$ . В 1D предельном случае ( $\nu \ll 1$ ) это условие принимает вид  $k_0 a^* \leq 2/\sqrt{\nu}$ , тогда как в 2D случае ( $\nu \gg 1$  и  $\nu/m = \text{const}$ ) имеем  $k_0 a^* \leq 2 \ln \nu$ . В отсутствие ярко

выраженной анизотропии (3D случай,  $\nu \approx 1$ ) подобное условие приближенно можно записать как  $k_0 a^* \leq 1$ . Таким образом, наличие анизотропии электронного закона дисперсии, соответствующей эффективному понижению размерности электронной системы, может существенно расширить диапазон значений  $k_0$ , при которых может быть обеспечено возникновение КСС.

Как следует из рис. 1, наряду с решением уравнения (16), соответствующим КСС, имеется еще одно решение с отрицательным затуханием. Подобное решение как и в случае электронов и фононов в кристалле с точечным дефектом, может быть истолковано [17] как состояние, отвечающее резонансному рассеянию при относительном движении ЭДП. Отметим, что в случае седловой точки  $S_1$  и достаточно большой величины  $|w|$  уравнение (16) допускает резонансное решение и при  $q^2 > 0$ .

## Список литературы

- [1] J.C. Phillips. Phys. Rev. **A136**, 6, 1721 (1964).
- [2] J.C. Phillips. Phys. Rev. **A139**, 4, 1291 (1965).
- [3] J.C. Phillips. The fundamental optical spectra of solids. Solid State Physics **18**, 55 (1966) [Дж. Филлипс. Оптические спектры твердых тел в области собственного поглощения. Мир, М. (1968)].
- [4] J.C. Phillips, B.O. Seraphin. Phys. Rev. Lett. **15**, 3, 107 (1965).
- [5] В.К. Субашиев, Ле Хак Бин. Письма в ЖЭТФ **12**, 2, 139 (1970).
- [6] V.K. Subashiev. Sol. State Commun. **9**, 6, 369 (1971).
- [7] А.И. Савчук, Н.Л. Говалешко, Г.Д. Далевский, З.Д. Ковалюк. УФЖ **17**, 10, 1548 (1972).
- [8] V.I. Sokolov, V.K. Subashiev. Phys. Stat. Sol. (b) **65**, 2, K74 (1974).
- [9] Г.И. Абуталыпов, М.Л. Белле. ФТП **9**, 7, 1330 (1975).
- [10] В.Т. Агекян, Ю.Ф. Соломонов, Ю.А. Степанов, В.К. Субашиев. ФТП **10**, 9, 1776 (1976).
- [11] Г.Ф. Глинский, А.А. Копылов, А.А. Пихтин. ФТП **12**, 7, 1237 (1978).
- [12] С.В. Вирко, М.П. Лисица, Ф.В. Мощный. ФТТ **42**, 9, 1579 (2000).
- [13] Р. Нокс. Теория экситонов. Мир, М. (1966).
- [14] V. Velicky, I. Sak. Phys. Stat. Sol. **16**, 1, 147 (1966).
- [15] В.И. Белявский, В.В. Капаев, Ю.В. Копяев. ЖЭТФ **118**, 4, 941 (2000).
- [16] Л.Д. Ландау, Е.М. Лифшиц. Квантовая механика. Нерелятивистская теория. Наука, М. (1989).
- [17] У. Харрисон. Теория твердого тела. Мир, М. (1972).